

В.М. Ахундов, Т.А. Скрипочка

## МОДЕЛИРОВАНИЕ СВАРНОГО РЕЗИНОМЕТАЛЛИЧЕСКОГО ШАРНИРА. ОСЕВОЙ СДВИГ

*В задаче об осевом сдвиге цилиндрического тела моделируется деформационное поведение цилиндрического шарнира под воздействием взаимно уравновешенных осевых сил, приложенных к его внутренней и наружной металлическим обоймам.*

*Ключевые слова: тело цилиндрическое, деформации большие, сдвиг осевой материал эластомерный*

Деформация осевого сдвига цилиндра нашла свое рассмотрение в [1–3]. В этих работах представлены основные соотношения данной деформации цилиндрического тела из несжимаемого эластомерного материала и результаты, полученные на их основе. В настоящей статье приводятся результаты изучения деформации осевого сдвига полого цилиндра из эластомерного материала с учетом его сжимаемости.

**1. Постановка задачи.** Достаточно длинное цилиндрическое тело с поперечным сечением круглой кольцевой формы с радиусами внутренней и наружной поверхностей  $r = a$  и  $r = b$  находится в условиях осевого сдвига (рис. 1). Деформация осевого сдвига обуславливается перемещением  $\hat{u}_b$  наружной поверхности цилиндра относительно внутренней вдоль его осевой линии. Деформация растяжения или сжатия задается кратностью  $\hat{L}$  удлинения цилиндра.

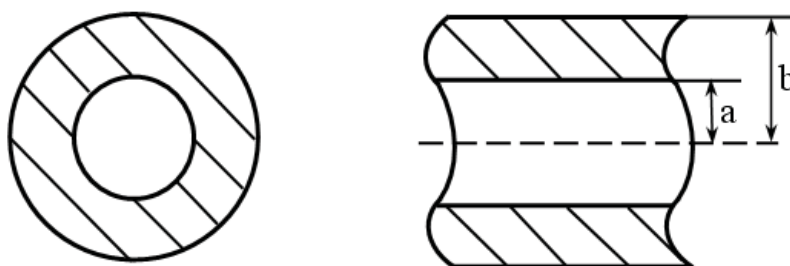


Рисунок 1 - Поперечное и продольное сечения цилиндра в исходном состоянии

Условия симметрии задачи приводят к нелинейным зависимостям осевой  $\hat{u}_{(1)}$  и радиальной  $\hat{u}_{(3)}$  компонент по радиальной координате  $r$  и к нулевому значению окружной компоненты  $\hat{u}_{(2)}$  вектора перемещений:

$$\hat{u}_{(1)} = \hat{u}_{(1)}(r), \quad \hat{u}_{(2)} = 0, \quad \hat{u}_{(3)} = \hat{u}_{(3)}(r).$$

На рис. 2 представлена схема компонент  $\hat{u}_{(1)}$  и  $\hat{u}_{(3)}$  перемещений  $r$ -координатной линии относительно отсчетной системы координат. В результате данных перемещений материальные отрезки цилиндра с радиальной ориентацией трансформируются в кривые линии, расположенные в меридиональных плоскостях.

Уравнения математической модели осевого сдвига цилиндра построили исходя из общих соотношений нелинейной механики упруго деформируемого тела [3]. В итоге получили разрешающую систему обыкновенных дифференциальных уравнений четвертого порядка относительно основных искомых величин.

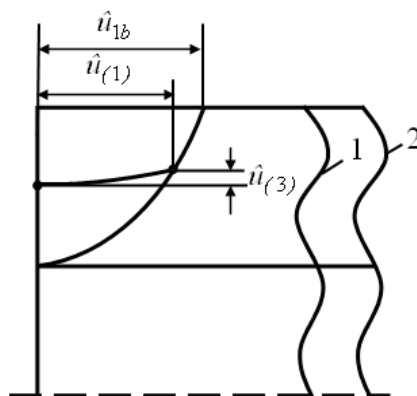


Рисунок 2 - Схема компонент  $\hat{u}_{(1)}$  и  $\hat{u}_{(3)}$  перемещений  $r$ -координатной линии относительно отсчетной системы координат: (1) и (2) – осевые сечения цилиндра в исходном и деформированном состояниях

В качестве основных искомых величин принимали осевую  $\hat{u}_{(1)}$  и радиальную  $\hat{u}_{(3)}$  компоненты вектора перемещений, касательное  $\hat{p}_{31}$  и нормальное  $\hat{p}_{33}$  напряжения в цилиндрических поверхностях тела.

**2. Методы исследования.** В основу численного решения задачи об осевом сдвиге цилиндра положили метод конечных разностей.

Производные первого порядка от основных величин, содержащиеся в уравнениях решаемой краевой задачи аппроксимировали с помощью конечно-разностных соотношений второго порядка точности. С привлечением соответствующих граничных условий в итоге формируется система нелинейных уравнений относительно значений основных искомых величин в узловых точках интервала краевой задачи  $a \leq r \leq b$ . Полученная система уравнений решается на основе процедуры дискретного метода Ньютона [4]. Решение краевой задачи производится поэтапно на основе продолжения по осевому перемещению  $\hat{u}_{1b}$  наружной лицевой поверхности относительно внутренней.

**3. Результаты исследования.** Проведены исследования деформации осевого сдвига цилиндра, жестко связанного с недеформируемыми обоймами. Исходная конфигурация цилиндра характеризуется радиусами внутренней  $a=100$  мм и наружной  $b=200$  мм поверхностей, находящихся в жестком контакте с соответствующими поверхностями обойм – втулок. Резиновый материал цилиндра описывали с помощью трехконстантного потенциала Левинсона–Буржеса [5] с упругими параметрами  $E_m = 4$  МПа,  $\nu_m = 0,49$ ,  $\beta_m = 1$ . Нагружение цилиндра задавали, изменяя величину осевого перемещения наружной поверхности цилиндра относительно внутренней в диапазоне  $0 \leq \hat{u}_{1b} \leq 100$  мм.

$$W_m = \frac{E_m}{4(1 + \nu_m)} \left[ \beta_m (I_1 - 3) + (1 - \beta_m) (I_2 I_3^{-1} - 3) + 2(1 - 2\beta_m) (\sqrt{I_3} - 1) \right] + \left( 2\beta_m + \frac{4\nu_m - 1}{1 - 2\nu_m} \right) (\sqrt{I_3} - 1)^2$$

На рис. 3 показана деформация меридиональных сечений цилиндра при перемещениях наружной поверхности  $\hat{u}_{1b} = 20$  мм, 40 мм, ..., 100 мм. Деформация меридиональных сечений имеет место как результат их перемещений  $\hat{u}_{(1)}$  и  $\hat{u}_{(3)}$  и представляется кривыми линиями в этих же сечениях, в которые трансформируются материальные отрезки с радиальной ориентацией в исходном состоянии. Кривые линии, берущие свое начало на радиальном отрезке, представляют собой траектории перемещения материальных

точек  $r=120$  мм, 140 мм, ..., 200 мм при деформировании цилиндра в диапазоне сдвигового перемещения  $0 \leq u_{1b} \leq 100$  мм.

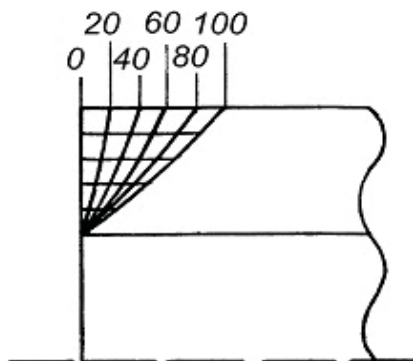


Рисунок 3 - Деформация меридиональных сечений цилиндра при перемещениях наружной поверхности  $\hat{u}_{1b}=20$ мм, 40мм, ..., 100мм

На рис. 4 изображены зависимости для кратностей удлинений цилиндра  $\hat{\lambda}_2$  (кривые 1) и  $\hat{\lambda}_3$  (кривые 2) в окружном и радиальном направлениях. Кратность удлинений  $\hat{\phi}$  – координатных линий (окружностей) на внутренней  $r=a$  и наружной  $r=b$  поверхностях цилиндров  $\hat{\lambda}_2=1$ . Для внутренних точек цилиндра  $a < r < b$  окружная деформация однородного цилиндра также  $\hat{\lambda}_2=1$ . Это означает, что радиальные перемещения  $\hat{u}_{(3)} = \hat{r} - r$  для однородного цилиндра отсутствуют. Радиальная деформация  $\hat{\lambda}_3$  цилиндра монотонно уменьшается в направлении от внутренней поверхности  $r=a$  к наружной  $r=b$ . При этом данная деформация изменяется в диапазоне  $1,76 \leq \hat{\lambda}_3 \leq 1,23$ .

На рис. 5 показаны изменения по толщине стенки цилиндра нормальных напряжений  $\hat{p}_{11}^-$  (кривая 1) и  $\hat{p}_{22}^-$  (кривая 2) в плоскостях поперечного и меридионального сечений, а также нормального  $\hat{p}_{33}^-$  (кривая 3) и касательного  $\hat{p}_{31}^-$  (кривая 4) напряжений в поверхности цилиндрического сечения деформированного цилиндра. Окружное  $\hat{p}_{22}^-$  и радиальное  $\hat{p}_{33}^-$  напряжения равняются нулю. Осевое напряжение  $\hat{p}_{11}^-$  является также всюду растягивающим и убывает в направлении от внутренней поверхности к наружной. Убывает и

касательное напряжение по направлению к наружной поверхности.

Значение касательного напряжения  $\hat{p}_{31}$  на внутренней поверхности в 2 раза превосходит значение этого же напряжения в наружной поверхности в соответствии с соотношением радиусов граничных поверхностей  $b/a = 2$ .

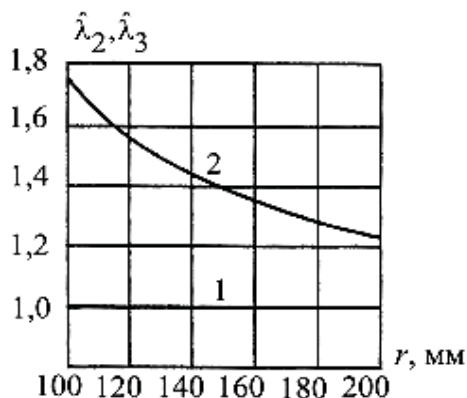


Рисунок 4 - Изменения по толщине стенки цилиндра кратностей удлинений  $\hat{\lambda}_2$  (1) и  $\hat{\lambda}_3$  (2) в окружном и радиальном направлениях

На рис. 6 (а) показано изменение удельной силы сдвига  $\hat{F}_c = 2\pi r \hat{p}_{31}$  в зависимости от величины осевого смещения. Сила сдвига прямо пропорциональна осевому смещению  $\hat{u}_{1b}$  на всем интервале значений  $0 \leq \hat{u}_{1b} \leq 100$  мм.

На рис. 6 (б) показано изменение осевой силы в поперечных сечениях цилиндра  $\hat{F} = \int_a^b 2\pi r \hat{p}_{11} dr$  в зависимости от величины смещения  $\hat{u}_{1b}$  наружной поверхности цилиндра относительно внутренней. Осевая сила  $\hat{F}$  и удельная сила сдвига  $\hat{F}_c$  связаны соотношением  $\hat{F} = \hat{F}_c \cdot \hat{u}_{1b}$ , которое вытекает из условия равновесия части цилиндрического тела, заключенной между поперечными эйлеровой и лагранжевой поверхностями. Сила сдвига  $\hat{F}_c$  прямо пропорциональна осевому смещению  $\hat{u}_{1b}$  на всем интервале значений  $0 \leq \hat{u}_{1b} \leq 100$  мм. Осевая сила  $\hat{F}$  является силой растяжения. На всем

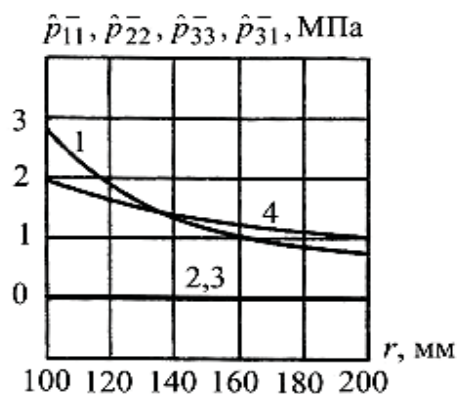


Рисунок 5 - Изменения по толщине стенки цилиндра нормальных  $\hat{p}_{11}$  (1),  $\hat{p}_{22}$  (2),  $\hat{p}_{33}$  (3) и касательного  $\hat{p}_{31}$  (4) напряжений

интервале  $0 \leq \hat{u}_{1b} \leq 100$  мм сила  $\hat{F}$  прямо пропорциональна квадрату осевого смещения  $\hat{u}_{1b}$ . Это является следствием прямо пропорциональной зависимости силы сдвига  $\hat{F}_c$  от  $\hat{u}_{1b}$ .

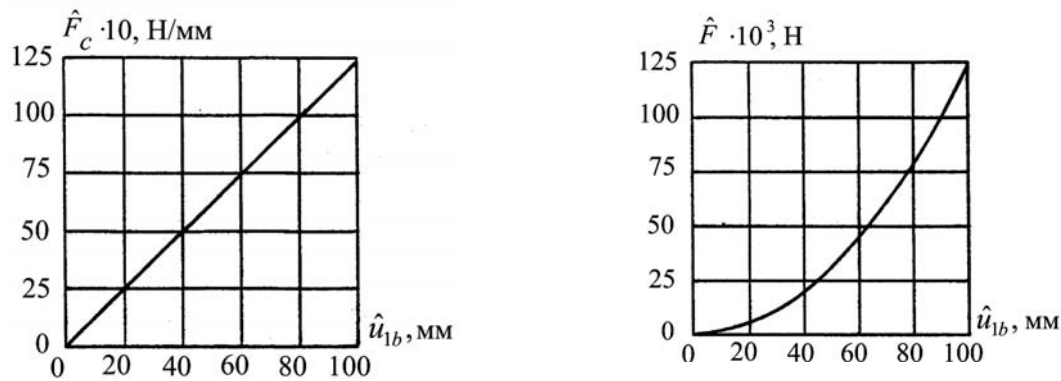


Рисунок 6 - Изменения удельной силы сдвига  $\hat{F}_c$  (а) и осевой силы  $\hat{F}$  (б) в поперечном сечении цилиндра в зависимости от величины смещения  $\hat{u}_{1b}$  его наружной поверхности относительно внутренней

**4. Выводы.** Получены уравнения эластичного цилиндра при больших деформациях осевого сдвига. На базе этих уравнений проведены исследования резинового цилиндра, жестко связанного с недеформируемыми обоями. Выявляется деформационная характеристика цилиндра, определяющая силу осевого сдвига в зависимости от взаимного смещения в осевом направлении наружной и внутренней поверхностей цилиндра. Эта характеристика линейная на рассмотренном интервале значений смещения. Результирующая осевая сила в поперечных сечениях находится в квадратичной зависимости от сдвигового смещения.

#### ЛИТЕРАТУРА

1. Бидерман В.Л. Расчеты резиновых и резино-кордных деталей / Под ред. С.Д. Пономарева. – В кн.: Расчеты на прочность в машиностроении. Т.2.– М.: Машиностроение, 1958. – 975 с.
2. Дымников С.И. Расчет сдвиговой жесткости резино-металлического шарнира при сдвиге и скручивании // Каучук и резина. – 1975. – № 4. – С. 36–38.
3. Черных К.Ф. Нелинейная теория упругости в машиностроительных расчетах. – Л.: Машиностроение, 1986. – 336 с.
4. Ортега Дж., Рейнболдт В. Итерационные методы решения нелинейных систем уравнений со многими неизвестными. – М.: Мир, 1975. – 558 с.
5. Levinson M., Burgess I.W. A comparison of some simple constitutive relations for slightly compressible rubber-like materials // Int. J. Mech. Sci. – 1971. – Vol. 13. – P. 563–572.